

تأثير تغيير فرق الجهد للترسيب الكهروكيميائي للهা�يدروكسيابتاتيت في التيتانيوم النقي تجاريًا وسبيكة Ti-6Al-4V

شيماء هاشم عنيد*

جمال فاضل حمودي*

عقيل فليح حسن*

* قسم البلازما- مركز الفيزياء التطبيقية - دائرة بحوث المواد- وزارة العلوم والتكنولوجيا .
** كلية العلوم للبنات / جامعة بغداد

استلام البحث 1 ، تشرين الاول، 2014
قبول النشر 15 ، شباط، 2015



This work is licensed under a [Creative Commons Attribution-NonCommercial-NoDerivatives 4.0 International License](https://creativecommons.org/licenses/by-nc-nd/4.0/)

الخلاصة :

في هذا البحث تمت دراسة السلوك التاكملي للتيتانيوم النقي تجاريًا ولسبيكة Ti-6Al-4V المطليين بالهيدروكسيابتاتيت بطريقة الترسيب الكهروكيميائي بعد تسلیط فرق جهد (12,9,6) فولت وباستعمال محلول المائي الحاوي على المركبات $\text{Ca}(\text{NO}_3)_2 \cdot \text{H}_2\text{O}$ 7.0 gm/L، $(\text{NH}_4)_2\text{HPO}_4$ 3.5 gm/L، $\text{Na}(\text{NO}_3)_2$ 8.5 gm/l لإجل تحسين قوة الترابط بين الهيدروكسيابتاتيت والمعادن والسبائك الطبية وزيادة التوافقية الإحيائية. وتمت دراسة طبيعة طبقة الطلاء بإجراء فحوصات حيود الأشعة السينية وفحص المجهر البصري وفحص المجهر الإلكتروني الماسح SEM ، واجراء فحوصات التاكمل عليها باستعمال محلول مشابه لمحاليل الجسم محضر مختبرياً (SBF)، وتبيّن بأن أفضل فرق جهد لطلاء التيتانيوم كان 9 فولت أما لسبيكة Ti-6Al-4V فكان 12 فولت .

الكلمات المفتاحية : المعادن والسبائك الطبية، الترسيب الكهروكيميائي للهيدروكسيابتاتيت، تحسين التوافقية الإحيائية

المقدمة :

تفكك الهيدروكسيابتاتيت وانتاج نواتج جانبية غير مرغوب بها [1].
2- القدرة على التحكم بظروف الطلاء بسهولة عن طريق التحكم بالفولتية وحامضية محلول ودرجة الحرارة والبعد بين الأقطاب وهذه هي العوامل الأساسية للترسيب الكهروكيميائي الذي يتيح تكوين طبقة ملائمة للهيدروكسيابتاتيت على سطوح الزوارع الجراحية [4].
3- قلة التكاليف لمثل هذه المنظومات مقارنة بمنظومات الترذيز بالبلازما والترسب بالليزر وغيرها.
4- قلة النواتج العرضية الناتجة مقارنة بالطرائق السابقة كافة.

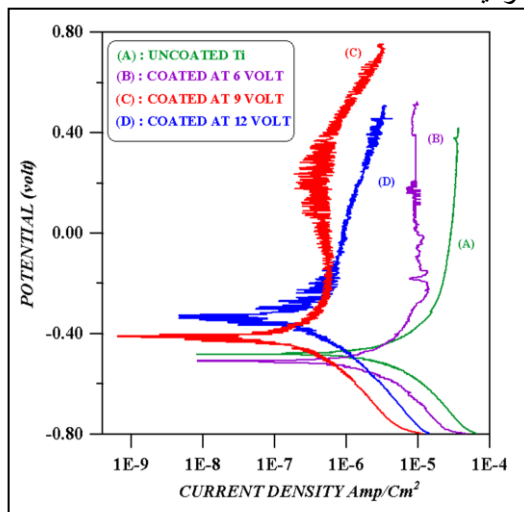
تعتمد طريقة الترسيب الكهروكيميائي من المحاليل المائية على مبدأ التحلل المائي الذي ينتج عنه أيون الهيدروكسيل (OH^-) والذي يعد الأساس لتكون الهيدروكسيابتاتيت في المحاليل المائية فضلا عن الكالسيوم والفوسفات [5]. ولأن خصوصية السطح والتركيب الكيميائي تؤدي دوراً أساسياً في الترابط مع العظام ، لذلك فإن طريقة الترسيب الكهروكيميائي توفر طبقة طلاء ذات

الزوارع الجراحية للتيتانيوم وسبائكه كثيراً استعملت لأجل تقويم العظام والكسور وفي طب الأسنان وذلك لأنها مقاومة للتآكل ولها القدرة على التوافق الإحيائي مع جسم الإنسان [1]، ولأن الهيدروكسيابتاتيت (HAp) أو $(\text{Ca}_{10}(\text{PO}_4)_6(\text{OH})_2)$ ذو تركيب مشابه لتركيب العظم فإنه يتمتع بتوافقية إحيائية عالية والقدرة على الترابط مع العظام منذ المراحل الأولى من زراعته [2]. ولذلك تم استعمال عدة طرائق للترسيب مثل الترسيب بالليزر ، الترسيب الإلكتروني (electrophoretic deposition) ، الترسيب بطريقة (sol-gel) و الترسيب بالتخثير [2,1] . الترسيب الكهروكيميائي من المحاليل المائية (electrolytic deposition) يعد واحدة من عمليات الطلاء وتنمایز هذه الطريقة بما يأتي [3] :
1- أنها تستعمل درجات حرارة واطنة للطلاء مما يمكنها من تكوين هايدروكسيابتاتيت عالي التبلور من دون نواتج جانبية وبشكل جيد خلافاً لطرائق الترذيز بالبلازما والترسيب بالليزر والتي تصل درجة الحرارة بهما إلى درجات حرارية عالية تتسبب في

بعد اتمام عملية الطلاء يتم تغطيس العينات بمحلول مكون من ($\text{NaOH}=1\text{M}$) ولمدة ساعة واحدة وذلك لإتمام تحول الهايدروكسيأباتيت وتجنب تكون نواتج عرضية غير مرغوب بها ، بعدها تتم معاملة العينات المطلية حراريًّا بوضعها بالفرن الأنابي نوع (Carbolite,ENGLAND) لمدة [ساعة 400°] بدرجة حرارة 400° بجو من الهواء لإنتمام التبلور للهايدروكسيأباتيت وزيادة الترابط مع المعدن الأساس للطلاء . يتم بعدها أخذ الصور المجهرية للعينات باستعمال المجهر الضوئي البصري وكذلك فحص SEM باستعمال جهاز (VEGA3 TESCAN) وفحص حيود الأشعة السينية XRD باستعمال جهاز (XRD600- SHIMADZU,JAPAN) واجراء فحوصات التاكل باستعمال جهاز (PARSTAT 2273,USA) لتحديد الخواص التاكلية للعينات.

النتائج والمناقشة :

1- تجارب التيتانيوم النقي : يتبع من الشكل رقم(1) الذي يبين تغير مخططات تاكل مع تغير الفولتية أن مع زيادة الفولتية يقل معدل التاكل وهذا بسبب زيادة سمك الطلاء الذي يصل إلى 180 مايكرون عند فولتية 12 فولت وهذا مسامية مرتفعة نسبيًّا بينما يكون ذا سمك 125 مايكرون عند 9 فولت ولكن مساميته أقلًّا مما عند 6 فولت فأن طبقة الطلاء تكون غير سميكة وغير منتظمة وتتوسط فيها مناطق غير مطلية كما موضح في الشكل رقم (2) الذي يمثل الصور المجهرية للعينات المطلية بفولتية مختلفة



شكل (1) تغير مخططات تاكل مع تغير فولتية الترسيب للتيتانيوم

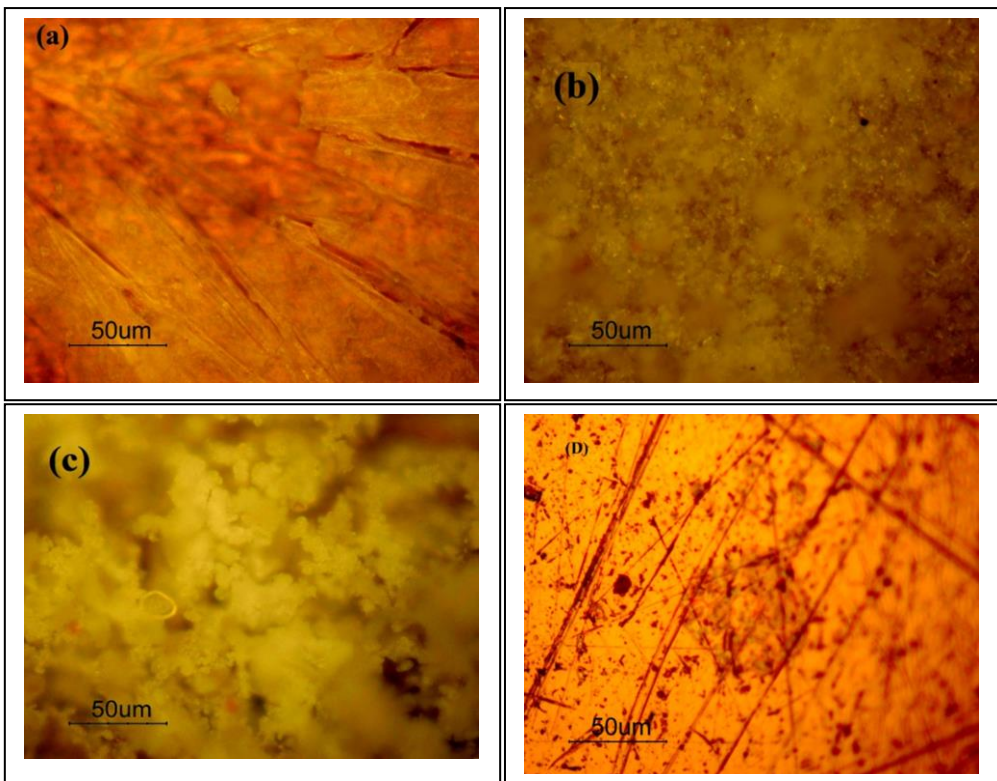
مسامية عالية وترابط قوي بين الهايدروكسيأباتيت وسطح المعدن أو السبيكة وبسمك ملائم مما يحسن مقاومة التاكل داخل الأجسام الحية ويسرع الترابط مع الأنسجة الحية (Osteointegration) [6].

ولضمان طلاء هايدروكسيأباتيت خالي من النواتج الجانبية فإن معاملة طبقة الطلاء بعد انتهاء عملية الطلاء بمحلول (NaOH) بمصفه مصدرًا لأيون الهايدروكسيل تضمن تحول مركب البروشait ($\text{CaHPO}_4 \cdot 2\text{H}_2\text{O}$) الذي ينتج في أثناء العملية بصورة كاملة إلى الهايدروكسيأباتيت [7، 8]، ومن ثم فأن طبقة الطلاء بالهايدروكسيأباتيت الخلالية من النواتج الجانبية ستحقق ربط أقوى مع العظام [10,9].

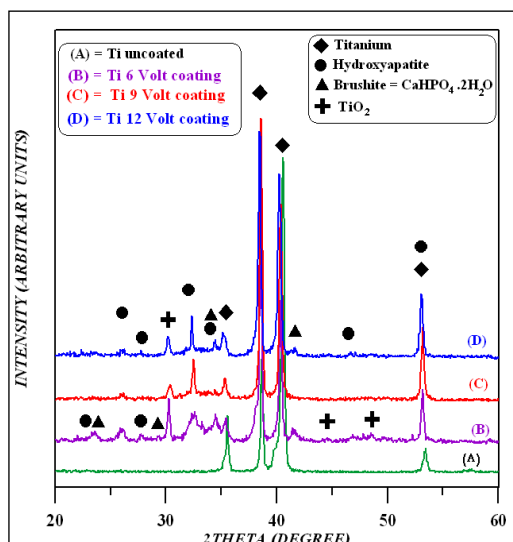
لذلك فأن عملية الترسيب الكهروكميائي المعتمدة في هذا البحث تتركز على استعمال محلول مؤلف من ($\text{CaNO}_3 \cdot 2\text{H}_2\text{O}$) بتركيز 7 غم/لتر و($(\text{NH}_4)_2\text{HPO}_4$) بتركيز 3.5 غم/لتر و($\text{Na}(\text{NO}_3)_2$) بتركيز 8.5 غم/لتر وبنطبيق فولتية مختلفة (12,9,6) فولت وحامضية محلول ستكون ثابتة بمقدار $\text{PH}=5.5$ ودرجة حرارة محلول ستكون 25° ومعاملة الطلاء الناتج بمحلول (NaOH) لضمان عدم تكون نواتج جانبية، بعدها يتم إجراء المعاملة الحرارية داخل الفرن الأنابي ودرجة حرارة 400° لضمان التبلور الجيد لطبقة الطلاء ولزيادة الترابط مع المعدن الأساس .

المواد وطرق العمل:

يتم تحضير العينات من معدن التيتانيوم النقي $\text{P}500$ وسبائك $\text{Ti}-6\text{Al}-4\text{V}$ بتعديمهما بورق التعميم $\text{P}1200$ - ثم تنظيفها بمحلول مكون من $\text{HNO}_3:\text{HF}:\text{H}_2\text{O}$ وبنسبة حجمية 3:1:6 على التوالي ثم غسلها بالماء المقطر وبعدها يتم تنظيفها بالاسيتون داخل حوض الموجات فوق الصوتية (Ultrasonic cleaner KQ 200E,CHINA) لمرة 15 دقيقة ثم يتم تنظيفها بالماء المقطر داخل حوض الموجات فوق الصوتية لمدة 15 دقيقة مرة واحدة ، يتم بعدها تحضير محلول الطلاء الأساس المكون من ($\text{NH}_4)_2\text{HPO}_4$ ، $\text{Ca}(\text{NO}_3)_2 \cdot \text{H}_2\text{O}$ 7 gm/l $\text{Na}(\text{NO}_3)_2$ 8.5 gm/l 3.5 gm/l خلط مغناطيسي (Hot plate with magnetic stirrer J.Lab.Dihan.CHINA) وبحامضية $\text{PH}=5.5$ ليتم بعدها إجراء تجارب الطلاء ببنطبيق فولتية مختلفة في كل تجربة (12,9,6) فولت وبدرجة حرارة ثابتة لكل التجارب وهي 25° مع الخلط بواسطة الخلط المغناطيسي ،



شكل (2) صور المجهر الضوئي لعينات التيتانيوم المطلية بفولتية (a) 6 فولت (b) 9 فولت (c) 12 فولت (d) غير مطلية



شكل (3) مخططات حيد الأشعة السينية لعينات التيتانيوم المطلية بفولتية مختلفة

تجارب سبيكة Ti-6Al-4V: يتبين من الشكل (4) الذي يبين مخططات تآكل وتجدد لها مع الفولتية لسبائك Ti-6Al-4V ان أقل معدل للتآكل تم تحقيقه عند الترسيب بفولتية 12 فولت اذ تم تقليل التآكل ما يقارب 10 مرات عن السبيكة غير المطلية وكما موضح في الجدول (2) لنتائج الخواص التآكلية لسبائك المطلية بفولتية مختلفة

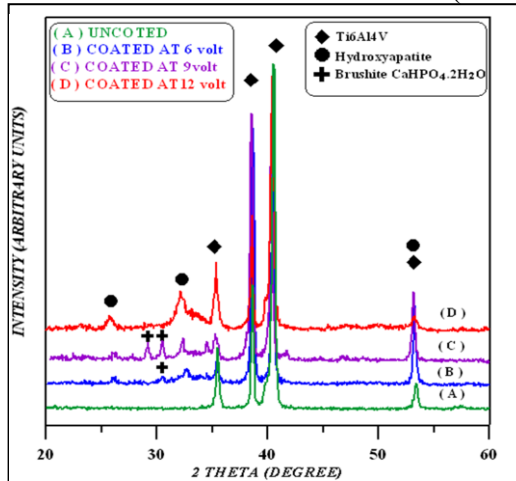
جدول (1) قيم معدلات التآكل وجهود التآكل وتيار التآكل لعينات التيتانيوم مع تغير فولتية الطلاء

ITEM	Cor.rate mm/y	E.Cor. volt	I.Corr. μAmp
uncoated	2.13×10^{-2}	-0.476	2.45
6 volt	8.0×10^{-3}	-0.512	8.96×10^{-1}
9 volt	1.77×10^{-3}	-0.428	1.9×10^{-1}
12 volt	2.25×10^{-3}	-0.395	9.53×10^{-2}

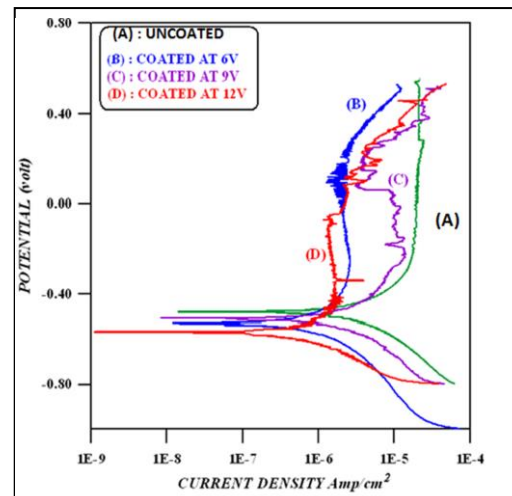
ومن الجدول رقم (1) الذي يمثل لنا الخواص التآكلية لعينات المطلية وغير المطلية يتضح لنا بأن أقل تآكل تم تحقيقه هو عند فولتية 9 فولت حيث تم تقليل التآكل بنحو 10 مرات عن السبيكة الأساس . ومن الشكل رقم (3) الذي يبين مخطط حيد الأشعة السينية لعينات المطلية بفولتية مختلطة يتضح لنا ظهور الهيدروكسيلاتيت بشكل واضح ، اما ظهور طبقة اوكسيد التيتانيوم بشكل كبير ظهر عند الطلاء بفولتية 6 فولت فيرجع الى عدم تغطية السطح بطبقة الطلاء ومن ثم تأكسد الطبقة عند المعاملة الحرارية بدرجة حرارة 400°C ، و هنا تجدر الاشارة الى ظهور البروشيات ($\text{CaHPO}_3 \cdot 2\text{H}_2\text{O}$) عند الترسيب بفولتية 6 و 12 فولت وهذا غير مرغوب به وعدم ظهوره بالترسيب بفولتية 9 فولت

المجهر الإلكتروني الماسح (SEM) للتيتانيوم المطلي وكذلك لسيبيكة Ti-6Al-4V نلاحظ شكل الهايدروكسيapatيت الصفائي الإبري المتكون على سبيكة التيتانيوم والحببات النانوية المتكونة على سبيكة Ti-6Al-4V وهذا دلالة على تأثير الطبيعة البلورية للسطح الأساس للطلاء في طبيعة الهايدروكسيapatيت البلورية المتكونة.

ولهذا فإن زيادة الفولتية يختلف تأثيرها في التيتانيوم منه في سبيكة Ti-6Al-4V وذلك لإختلاف الخواص البلورية بينهما ولوجود الألمنيوم والفناديوم في السبيكة أحدث تغيراً في الخواص الكهروكيميائية لها ، فالقيمة الواطئة لفرق الجهد لتكون الهايدروجين (Hydrogen Overpotential) رفع من تحلل الماء درجة عالية في الفولتيات المرتفعة مودياً لزيادة أيونات (OH^-) أكثر من الحد المطلوب لسرعة تفاعل التحول إلى الهايدروكسيapatيت مما وجه التفاعل لتكونين نواتج غير مرغوب فيها وأما بالنسبة لسيبيكة Ti-6Al-4V فإن ارتفاع فوق جهد تكون الهايدروجين قلل من تكون أيونات (OH^-) في الفولتيات 6 و 9 فولت وكانت ضمن حدود سرعة تفاعل التحول إلى الهايدروكسيapatيت عند 12 فولت مما ساعد على عدم تكون نواتج عرضية. فقلة أيونات (OH^-) كما في الفولتيات المنخفضة أو ارتفاعها عن الحد المسموح يؤدي بالتفاعل إلى تكون النواتج غير المرغوب بها مثل البروشایت $\text{CaHPO}_4 \cdot 2\text{H}_2\text{O}$ وهذا ما وضحته مخططات حيود الأشعة السينية XRD لها بعد المقارنة بالمخططات القياسية للهايدروكسيapatيت (ICDD 09-0432) والبروشایت (ICDD 09-0077) ICDD 11- 0293.



شكل (5) مخططات حيود الأشعة السينية XRD لسيبيكة Ti-6Al-4V

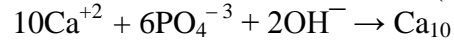
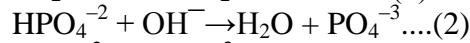
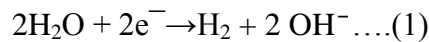


شكل (4) تغير مخططات تافل لسيبيكة Ti-6Al-4V مع تغير فولتية الترسيب

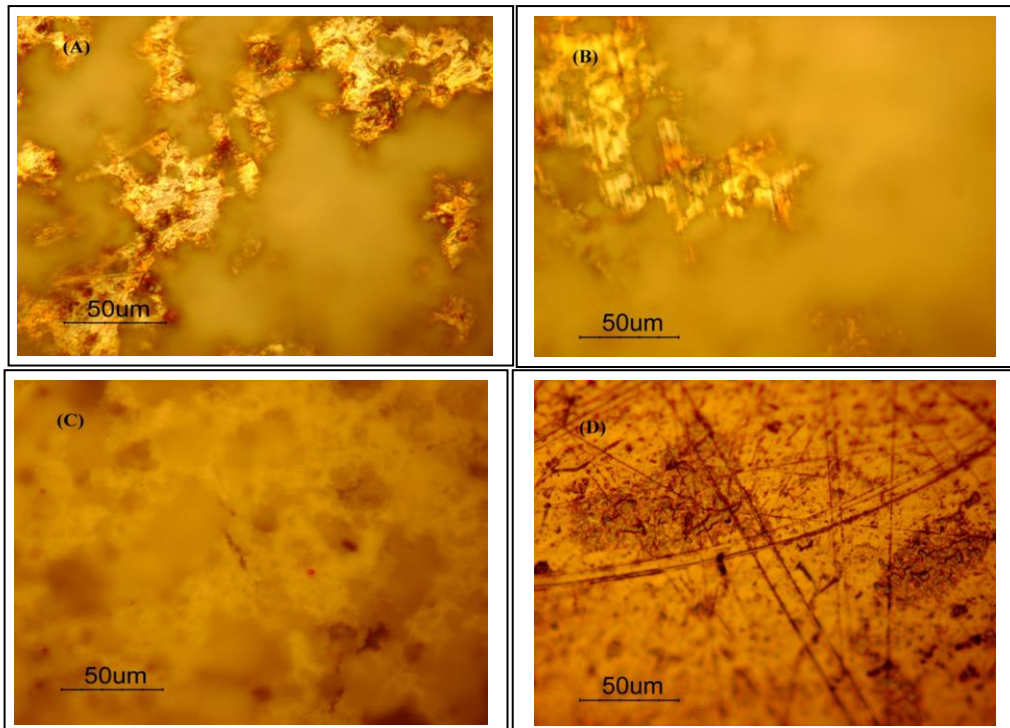
جدول (2) قيم معدلات التاكل وتيار وفولتية التاكل لسيبيكة Ti-6Al-4V مع تغير فولتية الطلاء

ITEM	Cor.rate mm/y	E.Cor. volt	I.Cor. μAmp
uncoated	1.023×10^{-2}	-0.482	1.128
6 volt	8.133×10^{-3}	-0.512	8.96×10^{-1}
9 volt	6.83×10^{-3}	-0.532	7.53×10^{-1}
12 volt	1.23×10^{-3}	-0.571	1.94×10^{-2}

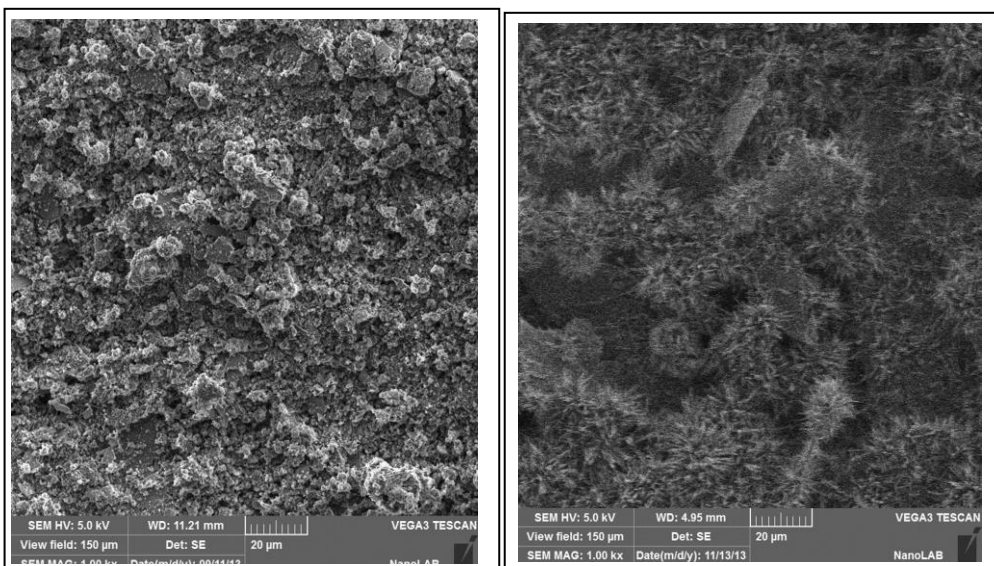
ومن الشكل (5) الذي يمثل مخطط حيود الأشعة السينية لسيبيكة Ti-6Al-4V يتبين أن ترسيب الهايدروكسيapatيت واضح في جميع الفولتيات عند الفولتية 12 فولت وهو واضح ان يكون وكذلك نلاحظ بأن البروشایت يظهر بشكل كبير عند الفولتية 6 و 9 فولت ويقل عند الفولتية 12 فولت ويكون سبب ذلك هو تكون أيون الهايدروكسيل (OH^-) بشكل أكبر والذي نتج من التحلل الكهروكيميائي للماء مما يتيح زيادة تحول الهايدروكسيapatيت إلى البروشایت $\text{Ca}_{10}(\text{PO}_4)_6(\text{OH})_2$ وبحسب المعادلات الآتية [6] :



ولكن تكون غاز الهايدروجين بكمية أكبر عند ارتفاع الفولتية يؤدي دوراً سلبياً بسبب تكوينه لمسامات عالية على سطح طبقة الطلاء وهذا غير مرغوب فيه والشكل (6) يبين صور المجهر الضوئي لعينات سبيكة Ti-6Al-4V المطلية وغير المطلية ومن الشكل (7) الذي يوضح صور



شكل (6) صور المجهر الضوئي لعينات Ti-6Al-4V المطلية بفولتية (a) 6 فولت (b) 9 فولت (c) 12 فولت (d) غير مطلي



شكل (7) صور المجهر الإلكتروني الماسح (SEM) تبين طبيعة الهايدروكسيapatيت المكون على عينة التيتانيوم الى اليمين و على عينة سبيكة Ti-6Al-4V الى اليسار

وبشكل بلوري حبيبي للهايدروكسيapatيت المكون ، وأن انخفاض الفولتية وارتفاعها يؤدي لظهور نواتج جانبية غير مرغوب بها لكل مادة أساس للطلاء بحسب طبيعتها الكهروكيميائية .

المصادر:

- [1] Yuan-yuan, Z. 2006. Electrochemical deposition of hydroxyapatite coating on

الاستنتاجات :
نستنتج مما سبق بأن ظروف الطلاء تختلف بحسب المادة الأساسية المستعملة للطلاء وطبيعتها البلورية المؤثرة في طبيعة المادة المطلية وشكلها البلوري ومساميتها بالنسبة للتيتانيوم كانت الظروف المثلث هي الطلاء بفولتية 9 فولت وبشكل بلوري صفائحي إبري للهايدروكسيapatيت المكون أما بالنسبة لسبكة Ti-6Al-4V فكانت الظروف المثلث هي الطلاء بفولتية 12 فولت

- [6] Ue-qin, W.2007. HA coating on titanium with nanotubular anodized TiO₂ intermediate layer via electrochemical deposition Trans. Nano ferrus. Met. Soc. China. 18:630-635.
- [7] Girisken, G. 2010. Development of Biominirilization Solutions to Facilitate The Transformation of Brushite into Octacalcium Phosphate. IEEE. 978:4244- 6382.
- [8] Eliaz, N. and Sridhar, T.M. 2008. Electrococrystallization of Hydroxyapatite and its dependece on Solution Conditins. Crystal Growth and Design. 8(1): 3965- 3977.
- [9] Dan- Li Fu.2012. Flourecence microscopic analysis of bone ossiointegration Strontium substituted hydroxyapatite implants, Biomed. & Biotech. 13: 364-371.
- [10] Jaramillo, Carlos D.2009. Osteoconductive and osseointegration properties of a commercial hydroxyapatite compared to a synthetic product. Rev. Colomb. Cienc. Pecu. 123: 471-483.
- titanium, Transaction of non ferrous Metals Society of China .16: 633- 637.
- [2] Huan , Li-Ye.2000. A Study of the process and kinetics of electrochemical deposition and the hydrothermal synthesis of hydroxyapatite coating, Jor.of.Mat.Sci. 11:667-663.
- [3] Eliaz, N. and Eliyahu, M.2006.Electrochemical processes of nucleation and growth of hydroxyapatite on titanium supported by real-time electrochemical atomic forcemicroscopy, Jor. of Bio. Mat. Res. part A 10: 623-633.
- [4] Mazze, R.2009. Growth of Hydroxyapatite crystals from solutions with pH controlled by novel vapor diffusion techniques. Effects of temperature and the acidic phosphoprotein osteopontin on crystals growth, Per. Mineral.73:19- 43.
- [5] Shirkhanzadeh, M. 1998. Direct formation of nanophase hydroxyapatite on cathodically polarized electrodes, Jor. of. Mat. Sci. 9:67-72.

The Effect of The Electrochemical Deposition Potential Variation on The Coating of Hydroxyapatite on Commercially pure Titanium (CpTi) and Ti-6Al-4V Alloy

*Aqeel F. Hasan**

*Jamal F. Hammody**

*Shaymaa H. Aneed***

*Plasma Department, Applied Physics Center, Material Research Directorate, Ministry of Science and Technology.

** College of Science for Women, University of Baghdad

Received 1, October, 2014

Accepted 15, February, 2015

Abstract:

In this research we investigated the corrosion behavior of the commercially pure titanium and Ti-6Al-4V alloy that coated with hydroxyapatite by electrochemical deposition with applied voltage (6,9,12) Volt from aqueous solution containing $\text{Ca}(\text{NO}_3)_2 \cdot \text{H}_2\text{O} = 7.0 \text{ gm/l}$, $(\text{NH}_4)_2\text{HPO}_4 = 3.5 \text{ gm/l}$, $\text{Na}(\text{NO}_3)_2 = 8.5 \text{ gm/l}$ in order to improve the bonding strength of hydroxyapatite and medical metals and alloys and increasing the biocompatibility. The coating layer morphology was investigated by XRD, Optical microscope , and SEM tests, the corrosion tests was made by use senthesys simulated body fluid (SBF) , and we found that the propreate voltage for coatint on Ti was 9 Volt and for Ti-6Al-4Vwas12Volt.

Key words: Medical materials and Alloys, Electrochemical deposition of Hydroxyapatite Biocompatibilty Improvements